

# ΣΕΙΣΜΟΣ ΝΔ ΤΗΣ ΖΑΚΥΝΘΟΥ (M=6.8, 26/10/2018)

## 1. ΓΕΝΙΚΑ

Στις **01:54 ώρα Ελλάδας** (22:54 UTC, 25/10/2018) εκδηλώθηκε ισχυρή σεισμική δόνηση μεγέθους **6.8** στη θαλάσσια περιοχή ΝΔ της Ζακύνθου. Τη δόνηση ακολούθησε μετασεισμική δραστηριότητα που καταγράφηκε από το Ενιαίο Εθνικό Δίκτυο Σεισμογράφων.

Τα δεδομένα των πρώτων **~72 ωρών** μετά την εκδήλωση του σεισμού, που προέκυψαν από τις αναλύσεις του προσωπικού του Σεισμολογικού σταθμού του Εργαστηρίου Γεωφυσικής του Α.Π.Θ. (<http://geophysics.geo.auth.gr/ss/webcatalogs>), και τις αναλύσεις του προσωπικού του Γεωδυναμικού Ινστιτούτου του Εθνικού Αστεροσκοπείου της Αθήνας (<http://bbnet.gein.noa.gr/HL/database>), συγκεντρώθηκαν και ακολούθησε επεξεργασία τους με τη βοήθεια κατάλληλου λογισμικού (Τέζα, 2011).

Συγκεκριμένα μελετήθηκαν:

- 1) Η **χωρική κατανομή** των επικέντρων της ακολουθίας που οριοθετεί το σεισμογόνο χώρο της ακολουθίας.
- 2) Η **κατά μέγεθος κατανομή** των σεισμών-μελών της ακολουθίας που αναδεικνύει το μέγεθος πληρότητας και τις τιμές των παραμέτρων **a** και **b** της σχέσης G-R.
- 3) Η μεταβολή του **μέσου μεγέθους** των σεισμών-μελών, προϋούσης της ακολουθίας.
- 4) Η **διαμήκης τομή** του σεισμογόνου χώρου της ακολουθίας που δίνει με καλή προσέγγιση το **μήκος του σεισμογόνου ρήγματος**.
- 5) Η **εγκάρσια τομή** του εστιακού χώρου που αναδεικνύει τη **διεύθυνση και τη γωνία κλίσης** του σεισμογόνου ρήγματος.
- 6) Η **χρονική κατανομή** των σεισμών-μελών που δείχνει την **ομαλή (ή μη) εξέλιξη** της ακολουθίας, όπως αυτή προκύπτει από το ρυθμό εκδήλωσης των σεισμών που την απαρτίζουν.
- 7) Η **χωρο-χρονική κατανομή** των επικέντρων των σεισμών-μελών της ακολουθίας που, σε συνδυασμό με τη χωρική κατανομή (χάρτης σεισμικότητας), οδηγεί στην εξαγωγή χρήσιμων συμπερασμάτων αναφορικά με τον **τρόπο διάδοσης της διάρρηξης** στο σεισμογόνο ρήγμα.

## 2. ΑΝΑΛΥΣΗ ΤΗΣ ΣΕΙΣΜΙΚΗΣ ΔΙΕΓΕΡΣΗΣ

Θα πρέπει να τονιστεί ότι για την ανάλυση της σεισμικής διέγερσης χρησιμοποιήθηκαν μόνο εστιακές παράμετροι που προέκυψαν από τις αναλύσεις του προσωπικού του Σεισμολογικού Σταθμού του Εργαστηρίου Γεωφυσικής του Α.Π.Θ. αλλά και του Γεωδυναμικού Ινστιτούτου του Εθνικού Αστεροσκοπείου της Αθήνας. Δε χρησιμοποιήθηκαν λύσεις «προϊόντα» αυτόματης διαδικασίας εντοπισμού, ώστε να αποφευχθεί αλλοίωση των αποτελεσμάτων, αφού τα σφάλματα αυτών των λύσεων δεν επέτρεπαν την ασφαλή χρήση τους.

Από τα έως τώρα δεδομένα προκύπτει ένδειξη ότι το σεισμογόνο ρήγμα έχει διεύθυνση  $\sim 322^\circ$  **BBD-NNA** και κλίνει προς τα A-BA. Αυτό βρίσκεται σε **καλή συμφωνία με διαθέσιμους μηχανισμούς γένεσης** του σεισμού που δημοσιεύονται από διάφορα σεισμολογικά κέντρα (GCMT, AUTH, NOA, INGV, KOERI, UOA, USGS).

Το μήκος του σεισμογόνου χώρου φαίνεται να είναι της τάξης των **50km**. Ένα ρήγμα διεύθυνσης αυτής της διάστασης δικαιολογεί τη γένεση ενός σεισμού μέγιστου μεγέθους  $M_w \sim 6.8$  που αντιστοιχεί στο μέγεθος του μεγαλύτερου σεισμού της ακολουθίας.

Σημειώνουμε ότι οι επτά παραπάνω κατανομές που αφορούν τους σεισμούς-μέλη της υπό μελέτη σεισμικής διέγερσης, περιγράφουν σαφώς την ταυτότητα της ακολουθίας, αφού καλύπτουν χρονικό διάστημα  $\sim 72$  ωρών. Η σχέση που περιγράφει τη χρονική κατανομή των μετασεισμών της ακολουθίας προέκυψε από τα δεδομένα του πρώτου 48ώρου. Είναι εμφανές ότι τα σημεία που αντιστοιχούν στους μετασεισμούς που εκδηλώθηκαν 72 ώρες μετά την γένεση του κύριου σεισμού, παραμένουν εντός του διαστήματος εμπιστοσύνης 95%, όπως αυτό καθορίστηκε από τα δεδομένα του πρώτου 48ώρου. Αυτό αποτελεί ένδειξη ομαλά εξελισσόμενης μετασεισμικής ακολουθίας.

Συνεκτιμώντας τα παραπάνω καταλήγουμε στο συμπέρασμα ότι η υπό μελέτη διέγερση (με βάση τα ως τώρα δεδομένα) ενέχει χαρακτηριστικά τυπικής μετασεισμικής ακολουθίας. Αυτό προκύπτει κυρίως από τη διάσταση του σεισμογόνου χώρου ( $\sim 50$  km, όπως αυτός διαμορφώνεται έως τώρα), από την κατά μέγεθος κατανομή των μετασεισμών (υψηλή τιμή της παραμέτρου  $b$ ), από την χρονική και χωρο-χρονική τους κατανομή αλλά και από το σεισμικό ιστορικό της περιοχής. Θα πρέπει, πάντως, να σημειωθεί το χωρικό κενό (έλλειψη επικέντρων μετασεισμών) που παρατηρείται μεταξύ των επικέντρων του κύριου σεισμού και του μεγαλύτερου μετασεισμού του.

Τονίζουμε ότι σε καμία περίπτωση η παραπάνω εκτίμηση δεν ενέχει χαρακτηριστικά βραχυπρόθεσμης πρόγνωσης.

Συνεχίζεται η προσεκτική παρακολούθηση της εξέλιξης της μετασεισμικής ακολουθίας από τους επιστήμονες του Τομέα Γεωφυσικής του Α.Π.Θ. Νεότερη ανάρτηση αναμένεται μέσα

στο προσεχές 24ωρο, εφόσον υπάρξουν επαρκή νέα δεδομένα που θα συμβάλουν στην καλύτερη αποτίμηση της κατάστασης.

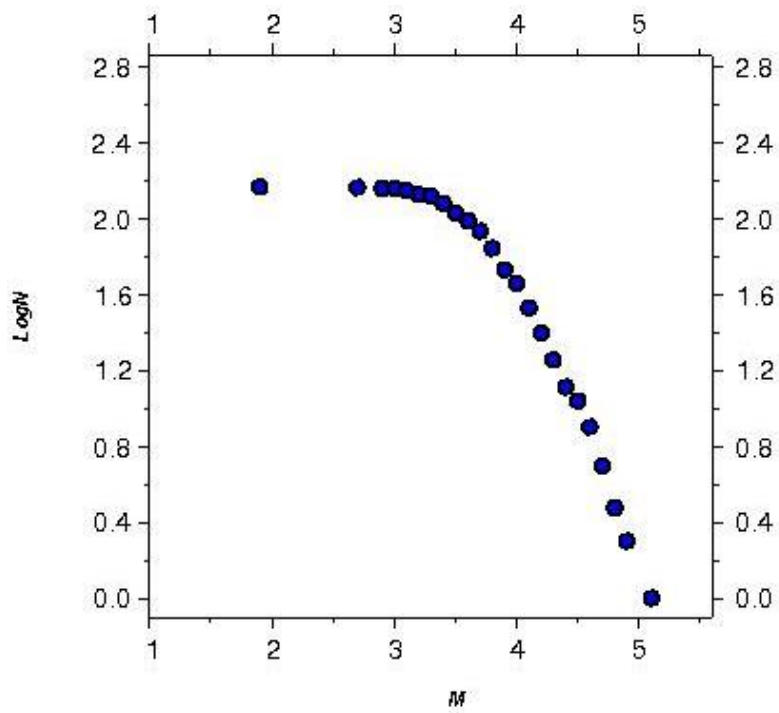
Οι χάρτες και τα γραφήματα έγιναν με τη χρήση του ελεύθερου λογισμικού GMT (*Wessel and Smith, 1995*)

Ε. Τέζα  
Μ. Σκορδύλης

### Βιβλιογραφία

- Τέζα, Ε., “Αυτοματοποιημένη διαδικασία παρακολούθησης και εκτίμησης της εξέλιξης σεισμικών εξάρσεων”, Διατριβή Ειδίκευσης, Α.Π.Θ., σελ. 190, 2011.
- Wessel, P. and Smith, W., “New version of the Generic Mapping Tools”, EOS, 76-329, 1995.

## G-R distribution



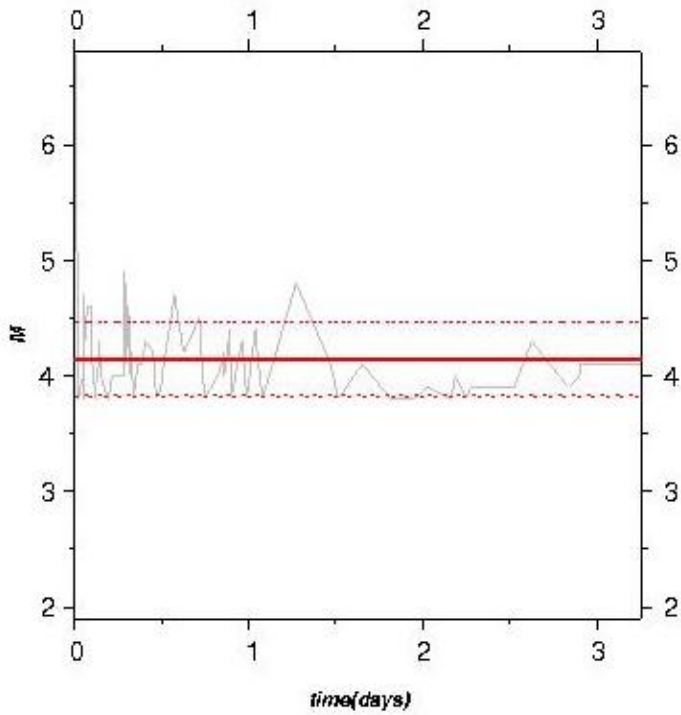
$$M_c = 3.8$$

$$\text{LogN} = -1.423 * M + 7.348$$

$$b = 1.423$$

$$a = 7.348$$

## Mean magnitude



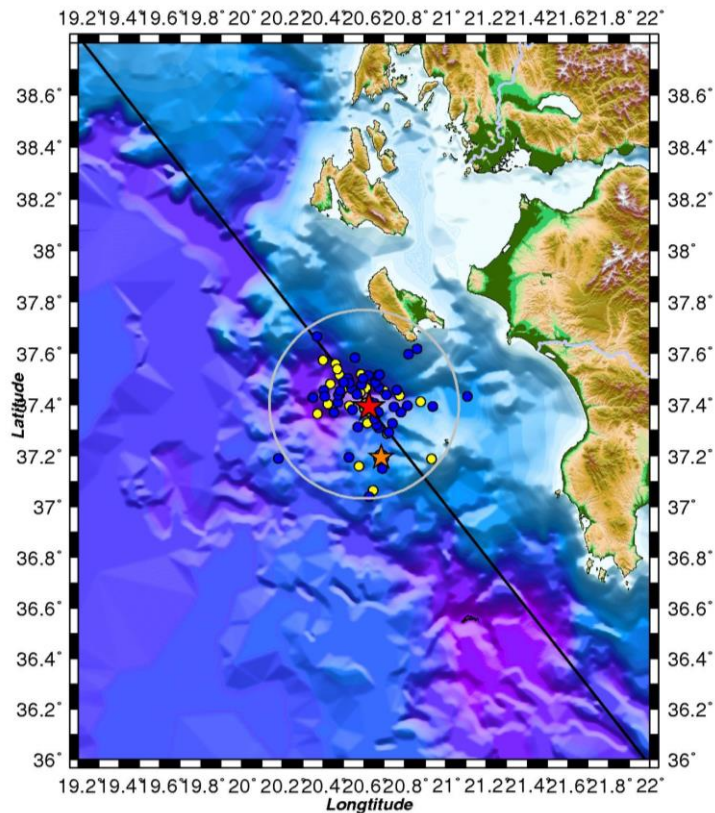
**Mmean = 4.142**

**SD= 0.319**

**Mmean+SD = 4.461**

**Mmean-SD = 3.823**

## Seismicity map



**Date: 25/10/2018**

**Time: 22:54:52 (UTC)**

**★ M = 6.8**

**★ M<sub>≥</sub> 5.0**

**● M<sub>≥</sub>3.8**

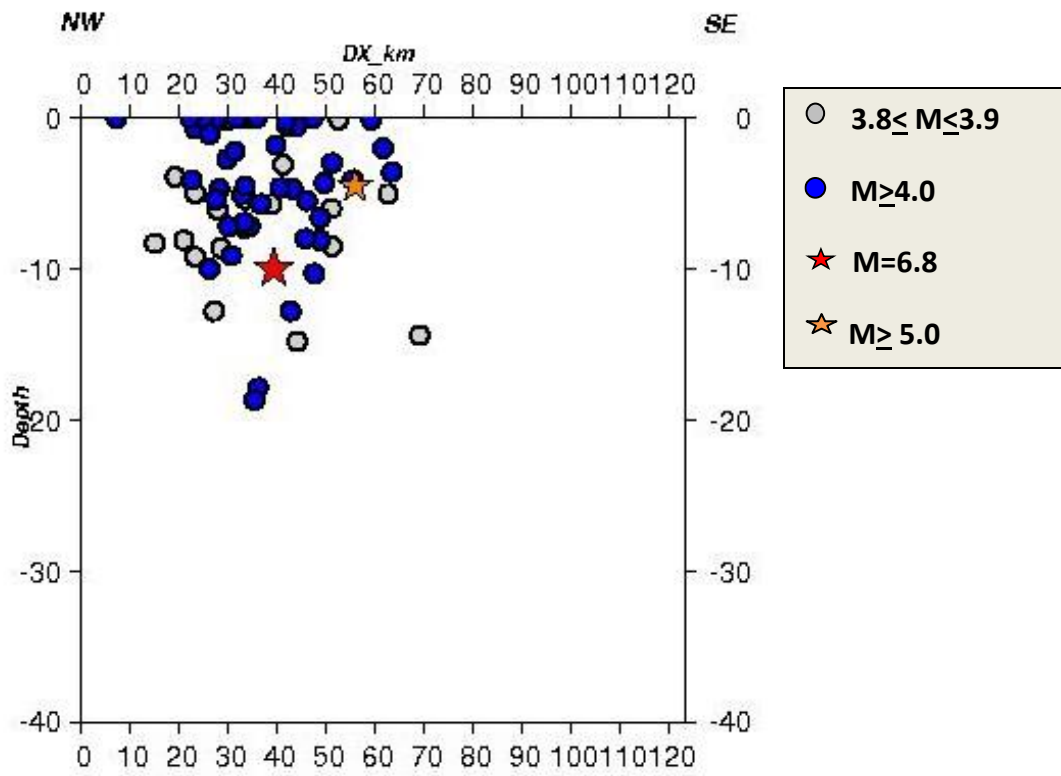
**● M<sub>≥</sub> 4.0**

**Latitude = 37.3900**

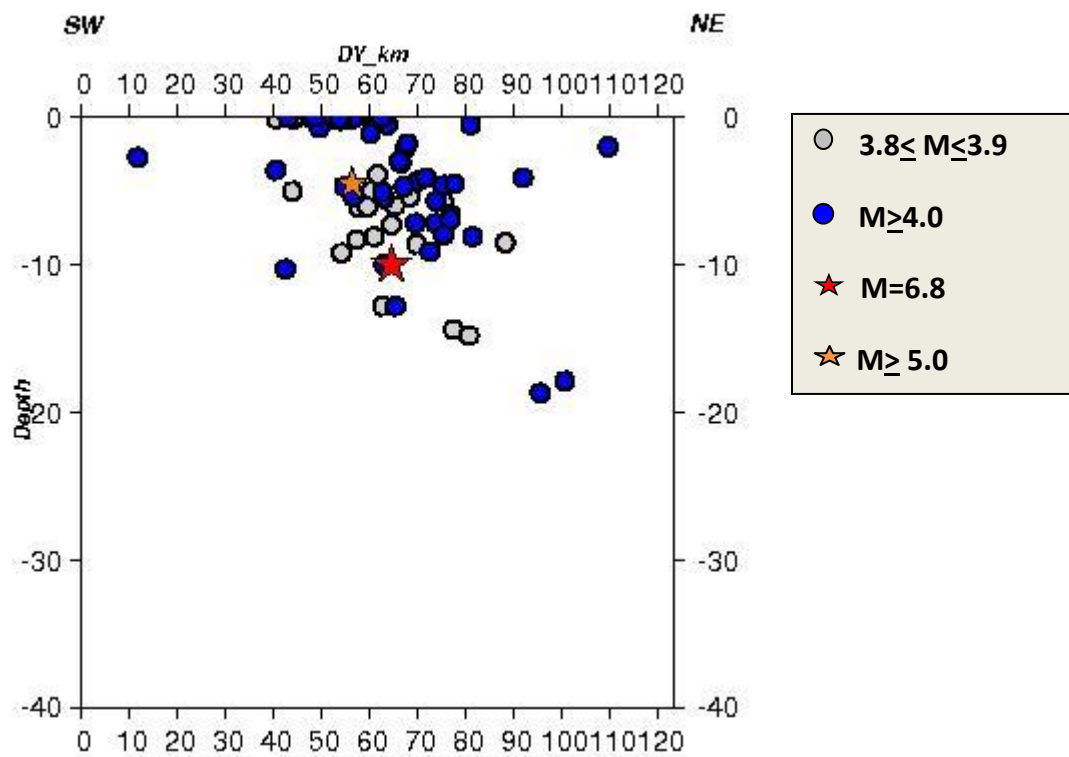
**Longitude = 20.6250**

**Depth = 10 km**

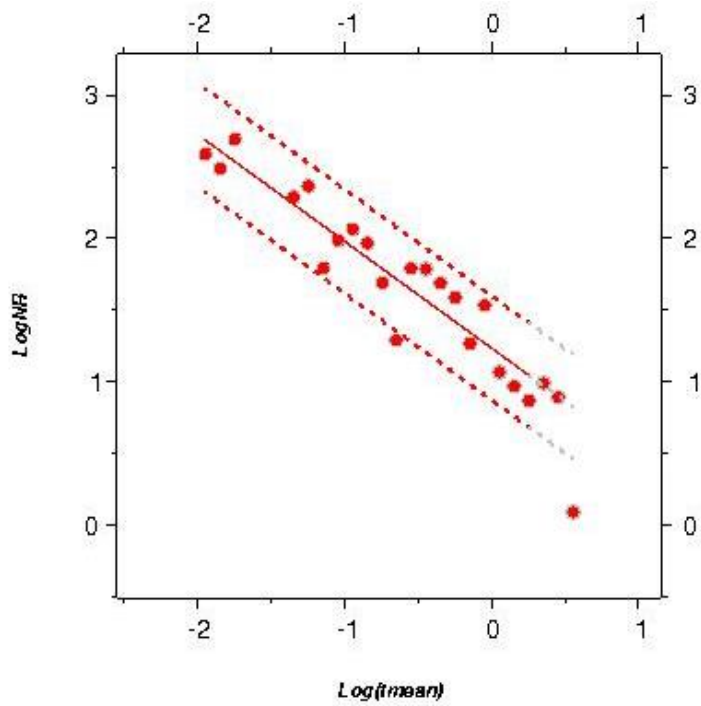
### Along-strike section



### Cross-strike section



## Time distribution



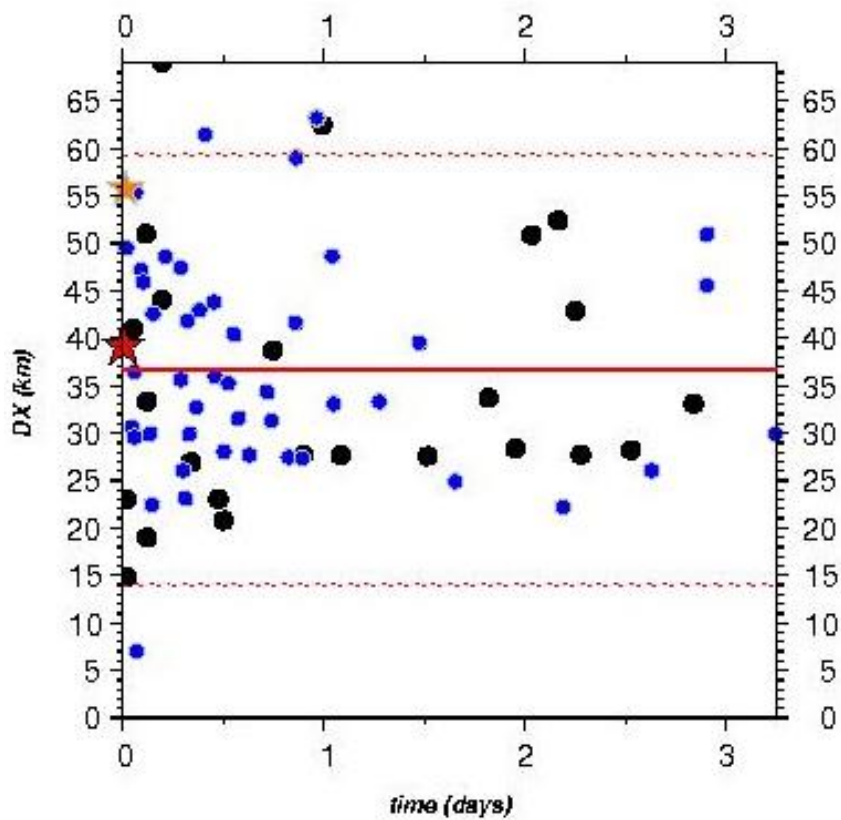
fit 48h:  $y = -0.746 * x + 1.595$

fit 48h 95%

1st :  $y_1 = -0.746 * x + 1.595$

2nd :  $y_2 = -0.746 * x + 0.869$

## Space-time distribution



●  $3.8 \leq M \leq 3.9$

●  $M \geq 4.0$

★  $M = 6.8$

★  $M \geq 5.0$